

大阪大学工学部 正員 小松圭夫  
大阪大学工学部 正員 面村宣男

1. まえがき 筆者らはトラスを連続体に置換し薄肉弾性ばり理論を適用して立体解析法を確立した。<sup>1)</sup> 解法の精度とトラスの立體的力学特性を調べる目的で模型実験を行った。模型は2種類で、1つは吊橋補助トラスと斜張橋されたもの(Aシリーズ), いすもうつはアプロード部, ダブルデッキ単純

トラスの1試験の縮尺模型である。(Bシリーズ)

2. 実験概要と結果 試験体の骨組構成を図1～図3に示す。Aシリーズでは対傾構部材を逐次取り外して、図1に示す上から端対傾構と中间対傾構の7種類の組合せを作り、スパン中央に集中ねじり荷重を作用させた同じ荷重状態のもとでの変位および部材ひずみの測定を行った。Bシリーズは荷重状態をAシリーズと同じスパン中央集中ねじり荷重(曲げねじり), スパン中央鉛直集中荷重, スパン中央偏心荷重およびトラスの隅を支持し残る1隅に鉛直集中荷重(単純ねじり)の4種類とした。使用材料はSS41相当鋼で、材料試験の結果弹性係数は $2.10 \times 10^6 \text{ kg/cm}^2$ である。

トラスの立體的力学特性は主に4つの無次元パラメータ  $\mu l$ ,  $rl$ ,  $P$ ,  $C$  に支配されることが連続体に置換して得られる方程式の解により明らかになる。  $\mu l$  はねじり剛性  $GJ$ , 曲げねじり剛性  $\alpha$  とスパン間に関係し、 $\mu l = \sqrt{GJ/\alpha} \cdot l$ ;  $rl$  は対傾構のせん断剛性  $\gamma$ ,  $GJ$ ,  $l$  に関係し  $rl = \sqrt{\gamma/2GJ} \cdot l$ ;  $P$  は両構面の幅厚比剛度;  $C$  は端対傾構のせん断剛性  $T_0$ ,  $\gamma$ , 構面長入に関係し  $C = T_0/\gamma l$  である。模型の無次元パラメータは表2のようになりわれる。A1～A4は典型的な上路トラスに相当するパラメータの組合せ、A-5は下路トラスの特長を備えている。A-6, 7は  $rl$  値が裏柱に比べてやや小さい。ダブルデッキトラスBは上路, 下路, 中間的なパラメータである。

実験値の一部を理論値と対比して図4～7に示す。図4ではAシリーズの各種力学量の対傾構剛性  $\gamma$  に対する変化状態を表している。また図5にはスパン中央および端対傾構の変形状態を示す。A1～A4ではねじれ角が卓越しているが、A5～A7ではねじれ角が大きくなっている。ねじれ角が卓越している場合にはトラスのねじり剛性が有効に働くが、ねじれ角が大きくなるとにつれて斜面上のねじり剛性が低下し

主構の曲げ剛性のみでねじり

荷重に抵抗している。図6に

Bシリーズの曲げねじりおよ

び単純ねじり実験における主

構鉛直変位、図7に曲げねじ

り実験における対傾構の断面

表2 模型トラスの無次元パラメーター

Model	$\mu l$	$rl$	$P$	$C$
A-1	4.461	5.775	0.777	0.500
A-2	4.461	5.453	0.777	0.622
A-3	4.461	3.792	0.777	1.568
A-4	4.461	3.792	0.777	0.500
A-5	4.461	0.438	0.777	74.40
A-6	4.461	0.148	0.777	652.0
A-7	4.461	0.148	0.777	0.500
B	4.510	2.420	0.658	1.644

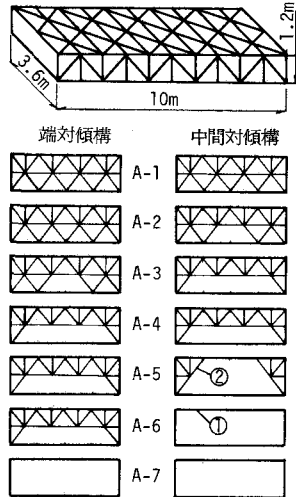


図1 Aシリーズの骨組構成

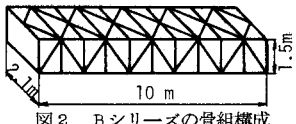


図2 Bシリーズの骨組構成

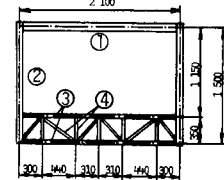


図3 Bシリーズの対傾構

表1 部材諸元

部材	Aシリーズ	Bシリーズ
主材断面積	$4.01 \text{ cm}^2$	$10.21 \text{ cm}^2$
主構斜材	$1.44 \text{ cm}^2$	$7.33 \text{ cm}^2$
横構斜材	$1.32 \text{ cm}^2$	$2.00 \text{ cm}^2$
対傾構 1 A	$1.32 \text{ cm}^2$	$6.02 \text{ cm}^2$
I	$1.641 \text{ cm}^4$	$112.7 \text{ cm}^4$
2 A	$1.01 \text{ cm}^2$	$9.44 \text{ cm}^2$
I	$0.355 \text{ cm}^4$	$94.50 \text{ cm}^4$
3 A		$3.00 \text{ cm}^2$
I		$11.76 \text{ cm}^4$
4 A		$2.02 \text{ cm}^2$
I		$3.15 \text{ cm}^4$

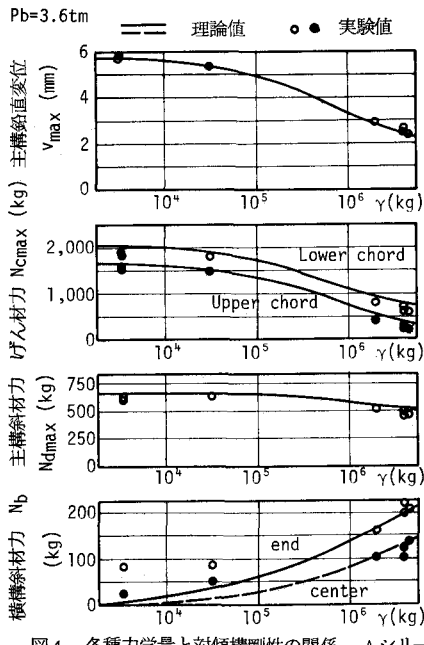


図4 各種力学量と対傾構剛性の関係 Aシリーズ

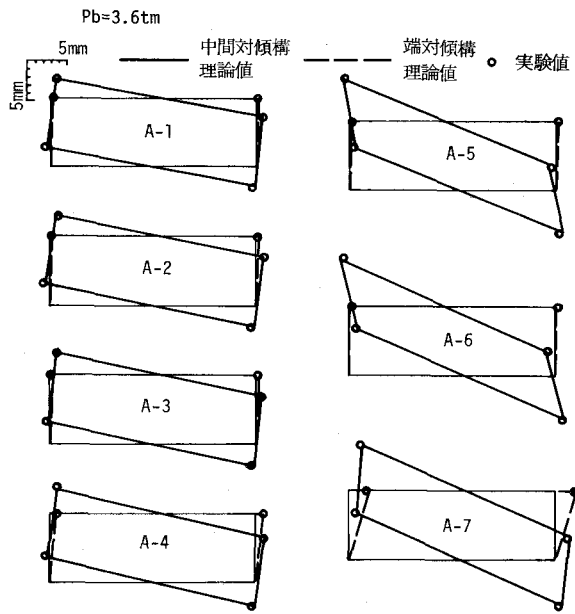


図5 横断面形状の変形状態 Aシリーズ

力を示す。

3. 結論 薄肉ばり理論による計算値と実験値は变形および応力ともに良好に一致している。筆者らの示した薄肉弹性ばり理論によるトラスの立体解析法の妥当性が確認されたものと思われる。なお、弹性方程式を計算する際、おこる解を求めたりそれに以下の事項に留意していかることを強調しておく。1)通常のトラス橋ではねじり荷重によつて断面変形がかなり含まれる。表3に示すように端対傾構剛性が大きいA1でもねじれ角に比して20%のずれ角が生じている。2)端断面においても端対傾構の変形によつてねじれ角とずれ角および積変位が生ずる。固定支点ではダイモーメントと積方向モーメントが連成する。これらの境界条件を忠実に評価する。3)部材力を求める際にトラスの骨組構成に注意して、トラス特有の応力の流れを考慮する。

4. おわり 本実験は本州四国連絡橋公団から、受託研究(吊橋のねじり剛性に関する研究)の一環として行なわれた。公団関係各位に感謝の意を表します。

参考文献 1) 小松圭七、西村宣男：トラスの並進的力学特性を考慮した強度設計について、第2回国際梁・構造工学研究発表会、1973。

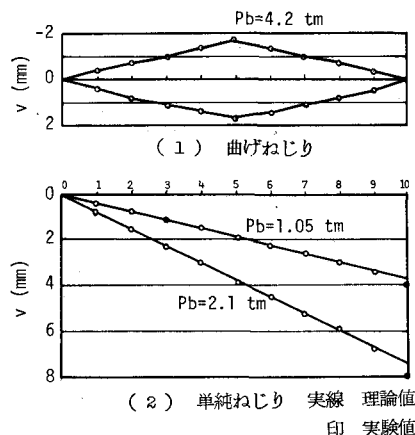


図6 主構鉛直変位 (Bシリーズ)

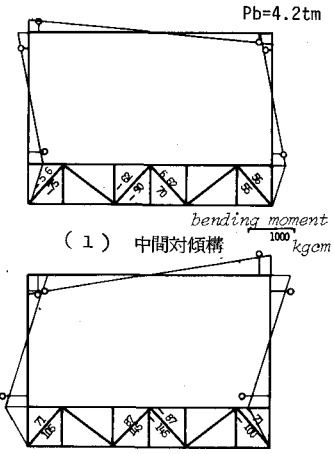


図7 対傾構の断面力 (B曲げねじり)

表3 ずれ角/ねじれ角、ずれモーメント/ねじれモーメント(理論値)

Model	$(\theta/\psi)_{max}$	$(T_\theta/T)_max$
A-1	0.195	0.505
A-2	0.207	0.489
A-3	0.325	0.430
A-4	0.301	0.591
A-5	3.005	0.895
A-6	3.990	0.986
A-7	0.681	0.998
B	0.483	0.621